

**ПОДВИЖНОСТЬ НОСИТЕЛЕЙ ЗАРЯДА
И ФОТОЛЮМИНЕСЦЕНЦИЯ В МАГНОНИОБАТЕ СВИНЦА
В ОБЛАСТИ СЕГНЕТОЭЛЕКТРИЧЕСКОГО ФАЗОВОГО ПЕРЕХОДА**

*В.А. Трепаков, А.В. Бабинский, Н.Н. Крайник,
Г.А. Смоленский, А.Н. Самухин*

При фазовом превращении в $\text{PbMg}_{1/3}\text{Nb}_{2/3}\text{O}_3$ (PMN) наблюдалось уменьшение дрейфовой подвижности (μ) носителей заряда (НЗ) и увеличение интенсивности фотолюминесценции (ФЛ). Минимум температурной зависимости μ смещается к высоким температурам с ростом электрического поля. Результаты интерпретированы с привлечением модели автолокализованных "фазонных" состояний НЗ в области сегнетоэлектрического фазового перехода (ФП).

Природа электрон-фононного взаимодействия в сегнетоэлектриках, особенно в области ФП еще не выяснена. Существуют различные, порой противоречивые, мнения относительно механизмов рассеяния НЗ в этих соединениях: рассеяние НЗ на LO -фононах [1 – 3], модель полярона малого радиуса [4] и т. д. Авторы [5] пришли к выводу, что в сегнетоэлектрических перовскитах μ определяется рассеянием на фононах мягкой TO -моды. В этом случае НЗ рассеиваются на критических флюктуациях поляризации решетки, обуславливающих неупорядоченные изменения уровня энергии дна зоны проводимости (ЗП). В области ФП должен наблюдаться минимум μ , отвечающий максимуму диэлектрической проницаемости ϵ_0 , что следует из соотношения $\mu \sim 1/\epsilon_0 + \text{const}$, полученного в [5]. Однако, исследований температурной зависимости μ непосредственно в области ФП не проводилось из-за экспериментальных трудностей, связанных, по-видимому, с узостью температурного интервала ФП. Такого рода исследования в области сегнетоэлектрического ФП могут дать ценную информацию о природе электрон-фононного взаимодействия и возможность проверить теоретические положения, предсказывающие, в частности, существование в области ФП автолокализованных фазонных состояний НЗ, экспериментально еще не наблюдавшихся в сегнетоэлектрических кристаллах [6].

Нами исследовалась температурная зависимость μ в наиболее изученном сегнетоэлектрике с размытым ФП – PMN, в котором температурная область флюктуаций расширена [7]. Величина μ измерялась время-пролетной методикой [8] на образцах, изготовленных в виде полированных пластин, ориентированных в направлении [100], толщиной $\sim 50 \pm 300 \text{ мкм}$, на противоположные грани которых напылялись золотые электроды. Фотоинжекция НЗ осуществлялась лазером на молекулярном азоте ЛГИ-21 ($\lambda \approx 337 \text{ нм}$, длительность импульса $\approx 8 \text{ нсек}$). Свет эффективно поглощается на глубине $\sim 1 \text{ мкм}$, так как для PMN энергия квантов падающего излучения $h\nu > E_g$. Проведенные эксперименты на образцах различной толщины и при различных электрических

полях показали, что наблюдаемый зарядовый импульс является "время-пролетным", и что для определения μ применимо выражение: $\mu \approx 0,8L^2/tV$, где L – толщина образца, t – время пролета НЗ межэлектродного расстояния, V – приложенное напряжение. Приложении электрического поля E в образцах наблюдалось однородное просветление в скрещенных поляризаторах, что свидетельствовало об относительно однородном распределении поля в диапазоне полей $E = 3 \div 20 \text{ кв/см}$. Значения μ НЗ составили для электронов $\mu^e \approx 0,5 \text{ см}^2/\text{в\cdotсек}$, для дырок $\mu^p \approx 0,35 \text{ см}^2/\text{в\cdotсек}$ при 20°C .

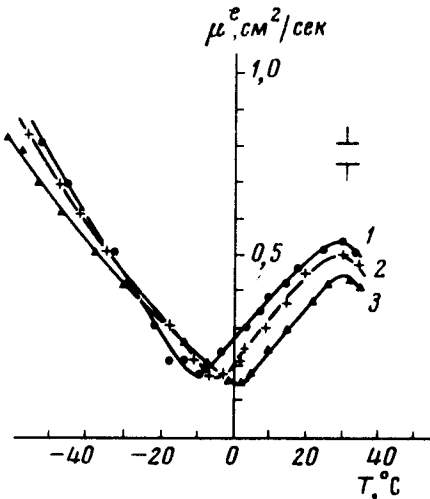


Рис. 1. Температурная зависимость дрейфовой подвижности электронов μ^e в $\text{PbMg}_{1/3}\text{Nb}_{2/3}\text{O}_3$ при напряженностях электрического поля: 1 – 3,6 кв/см, 2 – 5,7 кв/см, 3 – 8,3 кв/см

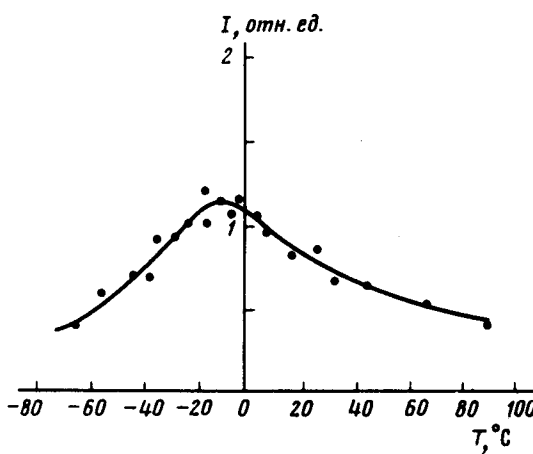


Рис. 2. Температурная зависимость интенсивности фотолюминесценции I в $\text{PbMg}_{1/3}\text{Nb}_{2/3}\text{O}_3$ в области $590 \pm 20 \text{ нм}$ (длина волны возбуждающего света $\alpha \approx 337 \text{ нм}$)

На рис. 1 приведена температурная зависимость дрейфовой μ^e в РМН при различных E . В области средней температуры Кюри μ^e уменьшает-

ся. С ростом E температура, соответствующая минимуму μ^e , растет, как и температура, отвечающая максимуму ϵ_0 [5, 7]. Аналогично ведет себя μ^P . Полученный результат совпадает с выводами [5]. Согласно [6] в области ФП возможно образование фазонных состояний НЗ, способных играть роль уровней прилипания, что тоже приводит к уменьшению μ .

На рис. 2 приведена температурная зависимость ФЛ в РМН с максимумом свечения $\lambda \approx 590 \text{ нм}$ при возбуждении лазером ЛГИ-21. В области -16°C интенсивность ФЛ максимальна. Слабая интенсивность ФЛ не позволила выявить структуру ее спектра и сделать заключение о температурном изменении контура наблюдаемой широкой ($\sim 60 \text{ нм}$) полосы. Ранее Сивонен [9] обнаружил рост интенсивности ФЛ при сегнетоэлектрическом ($\sim 35\text{K}$) и структурном ($\sim 100\text{K}$) ФП в изолирующим SrTiO_3 , но природа этого явления осталась невыясненной. В сегнетоэлектриках-перовскитах, легированных редкими землями ФЛ не проявляет особенностей в области ФП.

Максимум интенсивности ФЛ в области ФП может быть объяснен следующим образом: предположим, что при фотовозбуждении электроны забрасываются в ЗП, а затем некоторая их часть, после локализации на гетерофазной флюктуации и закрепления фазона на примеси, релаксирует с излучением на глубокий уровень последней. Заметим, что излучательная релаксация наиболее вероятна из фазонных состояний. Интенсивность ФЛ определяется числом фазонов N_1 , закрепленных на примесных центрах:

$$I = N_1 I_0 \quad (1)$$

где I_0 – вклад от одного центра люминесценции. Если концентрация примеси достаточно мала, то $N_1 \ll N_p$, где N_p – общее число фазонов. Предполагая, что и с учетом фазонных состояний время внутризонной релаксации много меньше, чем для межзонной, можно получить, используя [6]:

$$N_p = N \frac{\alpha \zeta}{2} \exp\left(-\frac{\Delta\Phi}{kT}\right) \left[1 + \frac{\alpha \zeta}{2} \exp\left(-\frac{\Delta\Phi}{kT}\right)\right]^{-1} \quad (2)$$

Число $\alpha \sim 1$ учитывает размытость энергии фазонных состояний, $\zeta \sim 10^3$, N – общее число электронов, заброшенных в ЗП, а $\Delta\Phi$ – изменение термодинамического потенциала (ТП) при образовании фазона – электрона, локализованного на зародыше парафазы (в сегнетоэлектриках типа перовскита дно ЗП в парафазе лежит ниже, чем в сегнетофазе). Можно показать, что при условии $N_1 \ll N_i$, где N_i – число атомов примеси, N_1 определяется из выражения:

$$N_1 = \frac{N_i N_p}{N_c} \exp\left(\frac{\Delta\Phi - \Delta\Phi_L}{kT}\right) = \frac{N_i N \alpha \zeta}{2 N_c} \exp\left(-\frac{\Delta\Phi_1}{kT}\right) \left[1 + \frac{\alpha \zeta}{2} \exp\left(-\frac{\Delta\Phi}{kT}\right)\right]^{-L}, \quad (3)$$

где N_c – число элементарных ячеек в кристалле, а $\Delta\Phi_1$ есть изменение ТП для фазона, закрепленного на примеси. При приближении к области ФП из сегнетофазы образование зародышей парафазы облегчается, поэтому $\Delta\Phi$ и $\Delta\Phi_2$ уменьшаются [6]. Так как $\zeta > 1$, уже при некотором $\Delta\Phi_1 > 0$ (метастабильные фазоны) практически все электроны находятся в фазонных состояниях (см. формулу (2)). В случае резкого ФП фазоны исчезают при $T > T_o$, где T_o – температура перехода, следовательно N_1 , а значит и I максимальны при некоторой $T^* < T_o$. Из приведенного следует, что ФЛ достигает максимума в области ФП, когда фотоэлектрон возбуждается в зону. Существование в РМН уровня с энергией активации $\sim 2,0 \text{ эв}$ показано в [10]. Фазоны могут также привести к наблюдавшемуся в [11] резкому увеличению вклада медленной компоненты фотопроводимости в области ФП в $\text{Ba}_{0,25}\text{Sr}_{0,75}\text{Nb}_2\text{O}_6$.

Таким образом, приведенные оценки показывают, что существование фазонных состояний НЗ, сопровождающееся появлением минимума дрейфовой μ НЗ, ведет к росту интенсивности ФЛ в области ФП.

Авторы благодарят Ю.А.Фирсова, С.А.Ктиорова, В.А.Капустина за полезное обсуждение результатов.

Физико-технический институт
им. А.Ф.Иоффе
Академии наук СССР

Поступила в редакцию
3 августа 1977 г.

Литература

- [1] M.P.R. Frederikse, W.R.Hosler. Phys. Rev., 161, 822, 1967.
- [2] O.N.Tufte, P.W.Chapman. Phys. Rev., 155, 796, 1967.
- [3] T.D.Schulz. Phys. Rev., 116, 526, 1959.
- [4] Э.В.Бурсиан. Нелинейный кристалл титанат бария. М., изд. Наука, 1974.
- [5] S.H.Wemple, M.DiDomenico, A.Jaraman. Phys. Rev., 180, 547, 1969;
M.DiDomenico, S.H.Wemple. Phys. Rev., B1, 4334, 1970.
- [6] М.А.Кривоглаз. УФН, 111, 618, 1973.
- [7] Г.А.Смоленский, В.А.Боков, В.А.Исупов, Н.Н.Крайник, Р.Е.Пасынков,
М.С.Шур. Сегнетоэлектрики и антисегнетоэлектрики. М., изд. Наука, 1971.
- [8] M.Martini, J.W.Mayer, K.R.Zanio. Appl. Sol. St. Sc., 3, 182, New-York – London, 1972.
- [9] V.T.Sihvonen. J.Appl. Phys., 38, 4431, 1967.
- [10] В.А.Трепаков, Н.Н.Крайник, А.В.Олифир. ФТТ, 18, 1751, 1976.
- [11] А.Х.Зейналлы, Н.Н.Лебедев, Б.С.Агаронов, А.М.Сафаров, М.К.Шейнкман. ФТТ, 18, 623, 1976.